

زمین‌شناسی، دگرسانی، کانه‌زایی و مطالعات ژئوشیمیایی

در معدن مس، منطقه گل‌چشمه، جنوب نیشابور

فاطمه نجمی^(۱)، سید احمد مظاہری^(۲)، سعید سعادت^(۳) و اعظم انتظاری هرسینی^(۴)

- دانشجوی کارشناسی ارشد زمین‌شناسی اقتصادی، گروه زمین‌شناسی، دانشگاه فردوسی مشهد، مشهد، ایران
- استاد گروه زمین‌شناسی، دانشگاه فردوسی مشهد، مشهد، ایران
- استادیار گروه زمین‌شناسی، واحد مشهد، دانشگاه آزاد اسلامی، مشهد، ایران
- مری، گروه زمین‌شناسی، دانشگاه پیام نور، تهران، ایران

تاریخ دریافت: ۹۴/۱۱/۱۱

تاریخ پذیرش: ۹۵/۰۱/۳۰

چکیده

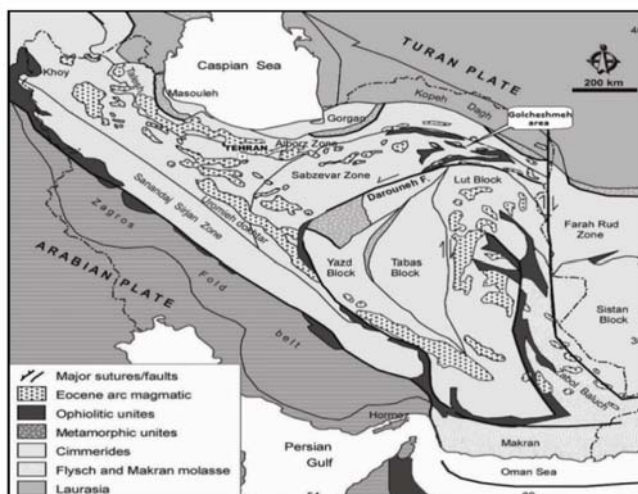
معدن مس گل‌چشمه در شمال شرق ایران (جنوب شهر نیشابور) در حاشیه زون ساختاری سبزوار واقع شده است. براساس مطالعات صحرایی و آزمایشگاهی، رخنمون‌های سنگی این منطقه شامل سنگ‌های آتشفسانی منسوب به ائوسن و یا جوان‌تر با ترکیب آندزیت تا بازالت به همراه واحدهای رسوبی، سنگ‌آهک و میان لایه‌هایی از توف و برش می‌باشد. زون‌های دگرسانی مرتبط با لایه‌های آندزیتی - بازالتی شامل کربناتی شدن، پروپیلیتیکی، اندکی سیلیسی، آزبیلیکی و سرسیتی می‌باشد و کربناتی شدن مهم‌ترین دگرسانی منطقه می‌باشد. کانه‌زایی به طور گستردۀ درمیان واحدهای آتشفسانی منسوب به ائوسن و یا جوان‌تر خود و از نظر بافتی به صورت رگه - رگچه، پرکننده حفرات و فضاهای خالی (آمیگدالوئید)، دانه پراکنده، آغشتنگی در پلاژیوکلازها و جانشینی صورت گرفته است. برایه مطالعات کانه‌نگاری صورت گرفته، کانه‌های اصلی حاوی مس به دو فاز اکسیدی و سولفیدی قابل تدقیک هستند که کانه‌زایی به طور عمده شامل فاز اکسیدی است و به صورت آغشتنگی در سطوح شکستگی‌ها و خلل و فرج و یا پرکننده فضاهای خالی در سنگ میزان مشاهده می‌شود. کانه‌های اکسیدی به صورت کانه‌های کربناتی و سیلیکاتی مس شامل مالاکیت، آزوریت و کریزوکلا بوده و کانه‌های سولفیدی مس شامل کالکوسیت، کوولیت، به مقدار جزئی کالکوپیریت، بورنیت، دیرنیت، تترادیریت و همچنین مس خالص بوده که در این بین، کالکوسیت‌ها بیشترین فراوانی کانه‌های سولفیدی را دارا می‌باشند. کانه اصلی سولفیدی مس در این محدوده کالکوسیت می‌باشد که احتمالاً شاهد دو نسل از آن هستیم. نسل اول که به صورت اولیه و پراکنده در اکثر نقاط تشکیل شده است و نسل دوم کالکوسیت که از تبدیل بورنیت و کالکوپیریت به صورت جانشینی و در شرایط سوپرژن ایجاد شده است. مطالعات ژئوشیمیایی حاصل از این پژوهش نشان‌دهنده این است که سنگ‌های آتشفسانی موجود در منطقه ماهیت بازالت‌های کالک‌آلکالن با گرایش شوшуونیتی را داشته و از نظر جایگاه زمین‌ساختی احتمالاً ساختار مانع می‌گیرند. کمان قاره‌ای مربوط به زون فرورانش می‌باشد. علاوه بر این، بر پایه نتایج حاصل از آنالیز عناصر کمیاب و نادر خاکی مقدار بالای Nb (بیش از ۱۶ گرم در تن)، غنی‌شدگی Rb و نسبت Zr/Nb (کمتر از ۲ و بین ۰/۷ تا ۰/۴۶) می‌تواند نشان‌دهنده ای آغشتنگی مانع باشد. عدم وجود آنومالی مشخص از عنصر Eu نشان‌دهنده شرایط ذوب در حالت اکسیدان می‌باشد. با توجه به مطالعات صورت گرفته و با تأکید بر شواهد مختلف از قبیل محیط زمین‌ساختی، کانی‌شناسی و نوع سنگ دربرگیرنده، ساخت و بافت ماده معدنی، پاراژن‌کانه‌نگاری، شکل ماده معدنی و عناصر همراه، این منطقه معدنی با ذخایر مس نوع مانتو واقع در شیلی مقایسه گردیده است و علیرغم پارهای از تفاوت‌ها، می‌توان منطقه گل‌چشمه را در رده کانسارهای تیپ مس نوع مانتو طبقه‌بندی کرد.

واژه‌های کلیدی: گل‌چشمه، آندزیت، کانه‌زایی، دگرسانی، مس مانتو، میشیگان.

مقدمه

همچنین اشرف پور (۱۳۸۶)، ژئوشیمی سنگ‌های جنوب تا جنوب شرق نیشابور (ارغش- گل‌چشم) را به نوار ارومیه - دختر شبهیه دانسته و آنها را متعلق به سری پتاسیم متوسط تا بالا، با گرایش کالک آلکالن و شاخص ماقماتیسم کمان قاره‌ای در ارتباط با فروزانش در نظر گرفته است. مطالعات قبلی انجام گرفته در محدوده مطالعاتی، در قالب نقشه ۱:۱۰۰۰۰۰ کدکن (نادری و ترشیزیان، ۱۳۷۷) و ۱:۲۵۰۰۰ تربت حیدریه (واعظی پور و علوی تهرانی، ۱۳۷۰) و گزارش اکتشاف نهایی منطقه گل‌چشم موجود می‌باشد (سعادت، ۱۳۹۱). منطقه در حال حاضر به عنوان یک معدن فعال در حال بهره‌برداری و استخراج است و امید است بتوان با ارائه داده‌ها و اطلاعات صحیح که برخی از آنها در این پژوهش آمده است به عنوان یک منطقه مستعد و دارای پتانسیل کانه‌زایی معرفی شده و مورد توجه قرار گیرد. به دلیل آنکه منطقه مورد مطالعه از لحاظ کانه‌زایی مستعد بوده و در نزدیکی آن اندیس‌های معدنی متعددی نیز گزارش شده است، می‌تواند به عنوان الگوی اکتشافی نیز برای آنها مطرح شود. به طور کلی هدف این پژوهش، تهیه دقیق نقشه زمین‌شناسی، دگرسانی، کانه‌زایی با مقیاس ۱:۵۰۰۰، بررسی و انجام مطالعات دقیق زمین‌شناسی، پتروگرافی، ژئوشیمی، کانه‌زایی، تعیین تیپ کانه‌زایی و ژن احتمالی و ارائه مدل اکتشافی مناسب و مقایسه آن با کانسارهای مشابه در دیگر نقاط ایران و سایر کشورها می‌باشد.

منطقه گل‌چشم در ۲۲۰ کیلومتری جنوب‌غرب مشهد و ۴۰ کیلومتری جنوب شهرستان نیشابور در حدفاصل $35^{\circ} 36' 48'' - 35^{\circ} 48' 59''$ طول شرقی و $58^{\circ} 42' 09'' - 58^{\circ} 48' 05''$ عرض شمالی در شش کیلومتری روستای جنداب واقع شده است. اثر کوه‌زایی آلب- هیمالیا در نواحی زیادی از ایران و ترکیه دیده می‌شود که سبب به هم پیوستن بلوک‌های کیمیرین در بخش‌های مختلف شده است. از جمله این بلوک‌ها ایران مرکزی است و براساس تقسیم‌بندی ارائه شده توسط اشتوكلین و نبوی (۱۳۵۱) این بلوک از شمال به زون البرز، از غرب به زون سندنج- سیرجان و از شرق به زون شرق ایران محدود می‌شود، (Berberian and Berberian, 1981) و منطقه مطالعاتی گل‌چشم نیز بخشی از این بلوک است که در حاشیه زون سبزوار و شمال گسل بزرگ درونه در زمان‌های مختلف در اغلب زون‌های ساختاری ایران دیده می‌شود. همگرایی میان صفحات در انتهای کرتاسه پایانی در زمان بسته شدن اقیانوس نوتوتیس در ایران و ترکیه، نقش مهمی در افزایش شدت ماقماتیسم دوره اوسن داشته و سبب رخدمنویسی فراوان سنگ‌های آذرین در این نواحی شده است. ماقماتیسم مرتبط با فروزانش از ۳۵ تا ۵۰ میلیون سال اغلب با حضور سنگ‌های درونی و آتش‌فشانی شوشوونیتی و کالک آلکالن اسیدی تا حد واسط همراه بوده است. (Stocklin and Nabavi, 1972)



شکل ۱. نقشه ساختاری ایران. موقعیت محدوده مطالعه در حاشیه زون سبزوار مشخص شده است (Stocklin and Nabavi, 1972).

۳. توده‌های گرانیت‌وئیدی شامل گابرو‌دیوریت، دیوریت، گرانودیوریت و گرانیت به سن اواخر ائوسن تا الیگوسن. واحدهای آذرین این ناحیه به سمت شمال‌غرب (محدوده معدنی طلا - آنتیموان ارغش)، در امتداد نوار ماجماتیس - پس از کرتاسه هستند که داخل و اطراف زون افیولیتی سبزوار و در امتداد شمال‌غرب - جنوب‌شرق مشاهده می‌شود (کیوانفر و عسگری، ۱۳۷۸). این محدوده در میان واحدهای آتش‌فشانی منسوب به ائوسن و یا جوان‌تر واقع شده است. واحدهای آتش‌فشانی در مقیاس صحرایی روند شمال‌غرب - جنوب‌شرق دارند که رنگ آنها از خاکستری تا قرمز (زون کانه‌زایی) متغیر است و دارای فنوکریست‌های پلژیوکلاز با بافت پورفیری می‌باشند. به نظر می‌رسد این واحدهای آتش‌فشانی با واحد لکانوسدیمنتری آگلومرا - توف آندزیتی در ارتباط هستند، اما به رغم داشتن مرز مشترک با واحد سنگ آهک، هیچ‌گونه ارتباطی به لحاظ کانه‌زایی ندارند (شکل ۳).

پتروگرافی

به‌منظور تفکیک بیشتر و دقیق‌تر واحدهای سنگی منطقه، نقشه زمین‌شناسی به مقیاس ۱:۵۰۰۰ از محدوده مطالعاتی تهیه گردید (شکل ۲). در مجموع واحدهای سنگی منطقه به انواع زیر تفکیک شدند:

- سنگ آهک: این واحد در شمال‌شرق منطقه به رنگ سفید تا نخودی رنگ گسترش یافته است. دارای مرز مشترک با واحد آندزیتی بوده (شکل ۳-a) و در مقیاس میکروسکوپی دارای فسیل نومولیت هستند (شکل ۴-a).
- آگلومرا - توف آندزیتی: این واحد نیز گسترش چندانی در منطقه به‌جز بخش‌های مرکزی ندارد و احتمالاً در ارتباط با واحدهای آندزیتی می‌باشد. در مقیاس صحرایی این واحد از قطعات نسبتاً کوچک تا متوسط در حدود یک سانتی‌متر تا قطعات نسبتاً بزرگ در حدود ده سانتی‌متر تشکیل شده است. جنس قطعات موجود غالباً از نوع آندزیت می‌باشد (شکل ۳-b).
- آندرزیت: این واحد بیشترین گسترش را در محدوده

روش مطالعه

در این پژوهش بیش از ۴۰ مقطع نازک، شش مقطع نازک- صیقلی و ۱۲ مقطع صیقلی مطالعه شد، سپس بر اساس آنها نقشه زمین‌شناسی، آلتراسایون و کانه‌زایی در مقیاس ۱:۵۰۰۰:۱ تهیه شد. آنالیز عناصر اصلی توسط دستگاه XRF در آزمایشگاه مرکز تحقیقات و فرآوری مواد معدنی ایران بر روی دوازده نمونه از واحدهای ولکانیکی منطقه با تفکیک لیتولوژیکی صورت گرفت. نوع دستگاه آنالیز Magic Pro ساخت کشور هلند می‌باشد. از مجموع نمونه‌های فوق تعداد هشت نمونه معرف برای آنالیز به روش ICP-MS برای ۵۸ عنصر با حلال (اسید HCL + اسیدنیتریک + (تیاز سلطانی) برای آنالیز عناصر کمیاب و نادر خاکی به آزمایشگاه SGS کشور صربستان ارسال گردید. مطالعات ژئوشیمیایی سطحی بر روی پانزده نمونه خرد سنگی از محل ترانشه‌ها و دیگر نقاط اکتشافی به روش ICP-OES در آزمایشگاه مرکز تحقیقات و فرآوری مواد معدنی ایران برای تعیین عیار مس و سایر عناصر نیز بررسی شد. نمونه‌برداری به روش خرد سنگی از بخش‌های مختلف کانسار و با فواصل مشخص شامل ترانشه‌ها و دیگر نقاط امیدبخش کانه‌زایی انجام شد و پس از خردایش نمونه‌ها، حدود سیصد گرم از هر نمونه به آزمایشگاه ارسال شد.

زمین‌شناسی عمومی

محدوده معدن مس گل‌چشمه در شمال‌غرب ورقه ۱:۱ کدکن و در حاشیه زون ساختاری سبزوار واقع شده است (نادری و ترشیزیان، ۱۳۷۷). منطقه مورد مطالعه بخشی از ارتفاعات شمال‌غرب کدکن می‌باشد که روندی شمال‌غرب - جنوب‌شرق دارد و در میان واحدهای آتش‌فشانی منسوب به ائوسن همراه با واحدهای سنگ آهکی قرار گرفته است. واحدهای عمدی لیتولوژیکی در این ناحیه عبارتند از:

- واحد آتش‌فشانی پائیوسن فوکانی - ائوسن که شامل گدازه‌های آندزیتی، تراکی آندزیت، ریوداسیت، آگلومرا و برش می‌باشد.
- واحد آذرآواری - آتش‌فشانی ائوسن بالایی.

می‌باشد. پیروکسن‌ها به طور عمده از نوع دیوپسید، اوژیت و اومفاسیتی هستند که در حال کربناتی شدن و تبدیل به کلریت و کانی اوپک می‌باشند (شکل ۴-e).

هورنبلنداندزیت: این واحد سنگی کمترین رخنمون را در محدوده مورد بررسی دارا می‌باشد و عمدتاً در بخش مرکزی و شمال غرب دیده می‌شود. بافت این واحد سنگی غالباً پورفیری و به طور فرعی آمیگداولئید تا گلومرپورفیری با زمینه دانه‌ریز می‌باشد. میزان فنوکریست‌های آن از ۱۰ تا ۱۲ درصد متغیر است و شامل پنج تا ۱۰ درصد پلاژیوکلاز و چهار تا شش درصد هورنبلند به صورت اوپاسیتی می‌باشد. در این واحد اندازه فنوکریست‌های پلاژیوکلاز بین یک تا پنج میلی‌متر و هورنبلند بین ۵/۰ تا ۲۰ میلی‌متر متغیر است. پلاژیوکلازها به همراه هورنبلند در حال تبدیل به کربنات، اپیدوت و کلریت هستند (شکل ۴-f).

آندزیت بازالت: این واحد رخنمون کوچکی در بخش شرقی منطقه در مجاورت واحدهای آهکی دارد. بافت این واحد سنگی، پورفیری، آمیگداولئید تا گلومرپورفیری با زمینه دانه‌ریز می‌باشد. میزان فنوکریست‌های آن از پنج تا ۱۰ درصد متغیر است و شامل پلاژیوکلاز، الیوین ادینگریتی و پیروکسن به صورت اومفاسیتی و دیوپسیدی می‌باشد. در این واحد اندازه فنوکریست‌های پلاژیوکلاز بین یک تا پنج میلی‌متر متغیر است و به همراه پیروکسن‌ها در حال تبدیل به کربنات و مقدار جزیی کلریت هستند. این واحد دارای حفراتی است که با کربنات پوشیده است (شکل ۴-g).

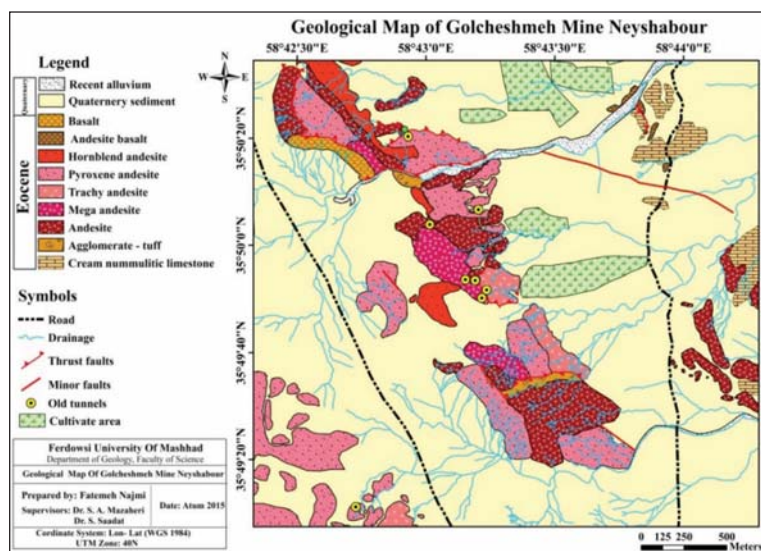
بازالت: بافت این واحد سنگی پورفیری بوده که رخنمون کوچکی در بخش شمال غرب محدوده دارد و دارای پلاژیوکلاز، پیروکسن (اوژیت، اوژیت- دیوپسید)، هورنبلند اوپاسیتی و الیوین ادینگریتی می‌باشد، که هورنبلندها و الیوین‌ها در حال تبدیل به کربنات هستند. اندازه پلاژیوکلازها بین یک تا پنج و پیروکسن‌ها بین ۲/۰ تا ۱۰ میلی‌متر متغیر می‌باشد (شکل ۴-h).

مورد بررسی دارا می‌باشد. بافت این واحد سنگی عمدتاً پورفیری و به طور فرعی شامل فلتی تا گلومرپورفیری با زمینه دانه‌ریز می‌باشد. میزان فنوکریست‌های آن بین ۱۰ تا ۲۰ درصد متغیر می‌باشد و عمدتاً شامل پلاژیوکلاز بوده و اندازه دانه‌های آن بین یک تا هفت میلی‌متر متغیر می‌باشد. همچنین کمتر از ۲ درصد هورنبلند اوپاسیتی و پیروکسن اومفاسیتی شده نیز در این واحدها قابل مشاهده است. در بعضی نقاط، پلاژیوکلازها در حال تبدیل به کربنات، اپیدوت و کانی‌های رسی می‌باشند و رگچه‌های اکسید آهنی نیز در آنها دیده می‌شود (شکل ۴-b).

- مگاندزیت: این واحد سنگی عمدتاً در بخش مرکزی و غربی منطقه رخنمون دارد. بافت آن پورفیری می‌باشد و از لحاظ کانی‌شناختی دقیقاً مشابه واحد آندزیت است، تنها تفاوت آنها اندازه فنوکریست‌های پلاژیوکلاز می‌باشد که به بیش از ۱۰ میلی‌متر می‌رسد (شکل ۴-c).

- تراکی آندزیت: این واحد گسترش کمی در محدوده مورد بررسی دارد و عمدتاً در بخش مرکزی تا جنوب‌شرقی دیده می‌شود. بافت این واحد سنگی عمدتاً پورفیری و گاهی جریانی می‌باشد. میزان فنوکریست‌های آن بین پنج تا ۱۲ درصد متغیر بوده و شامل پلاژیوکلاز و آلکالی فلدسپات است که اندازه دانه‌های پلاژیوکلاز بین یک تا هفت میلی‌متر و آلکالی فلدسپات‌ها بین یک تا سه میلی‌متر متغیر می‌باشد، همچنین کمتر از ۲ درصد هورنبلند اوپاسیتی و پیروکسن اومفاسیتی شده نیز در این واحد قابل مشاهده می‌باشد که در بعضی نقاط پلاژیوکلازها در حال تبدیل به کربنات و کانی‌های رسی هستند (شکل ۴-d).

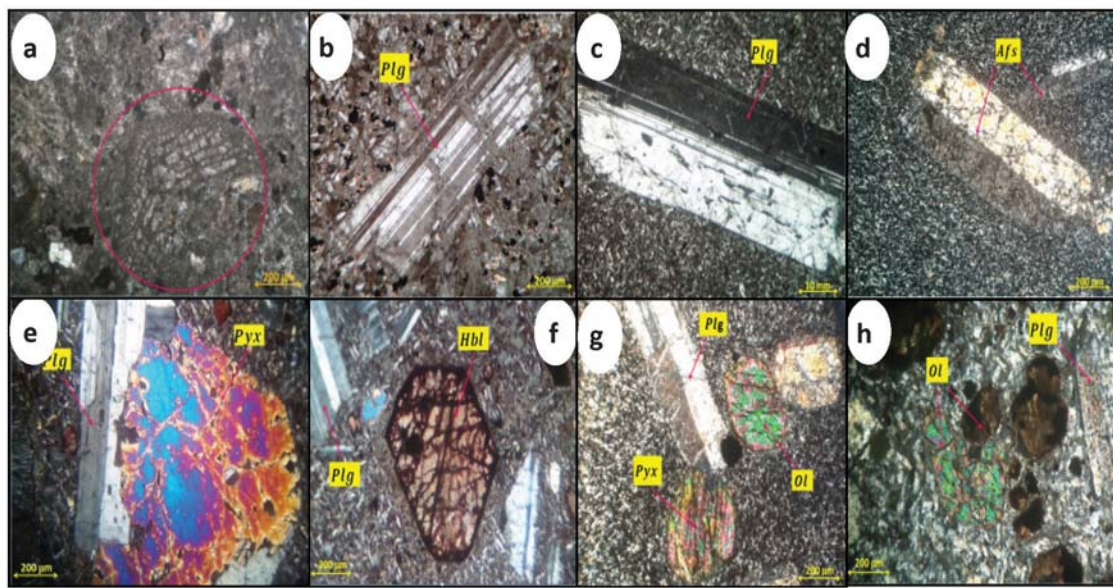
- پیروکسن آندزیت: این واحد نیز دارای گسترش قابل ملاحظه‌ای در محدوده مطالعاتی می‌باشد. بافت این واحد سنگی، پورفیری تا گلومرپورفیری با زمینه دانه‌ریز می‌باشد. اندازه فنوکریست‌های پلاژیوکلاز بین یک تا ۱۰ میلی‌متر و پیروکسن‌ها بین ۵/۰ تا سه میلی‌متر متغیر است و میزان پیروکسن‌ها در حدود پنج تا شش درصد



شکل ۲. نقشه زمین‌شناسی محدوده مورد مطالعه در مقیاس ۱:۵۰۰۰



شکل ۳. تصاویر صحرایی a) واحد سنگ آهک دارای مرز مشترک با آندزیت؛ b) آگلومرا - توف آندزیتی دارای قطعات آندزیت؛ c) واحد آندزیت



شکل ۴. تصاویر میکروسکوپی از واحدهای ولکانیکی منطقه (تمامی تصاویر در نور xpl می‌باشند)؛ a) واحد آندزیت دارای فنوکریست پلازیوکلار در زمینه میکروولیتی؛ b) واحد مگا آندزیت دارای فنوکریست پلازیوکلار با طول بیش از ۱۰ میلی‌متر، c) واحد تراکی آندزیت حاوی فنوکریست آلکالی فلدسپار؛ d) واحد پیروکسن آندزیت همراه با فنوکریست اوژیت و پلازیوکلار؛ e) واحد هورنبلند آندزیت واحد فنوکریست هورنبلند کاملاً شکل دار در حال تبدیل به کربنات؛ f) کانی هورنبلند در حال تبدیل به کلریت؛ g) واحد آندزیت دارای فنوکریست‌های الیوین، پلازیوکلار و پیروکسن؛ (h) واحد بازالت همراه با بلورهای الیوین و پلازیوکلار
 (کلریت=Chl، هورنبلند=Hbl، پیروکسن=Pyx، الیوین=Ol، آلکالی فلدسپار=Afs و پلازیوکلار=Plg)

دگرسانی

۱۰ درصد پلازیوکلازها، پیروکسن‌ها و هورنبلندها به اپیدوت و کلریت تجزیه شده‌اند.

کانه‌زایی

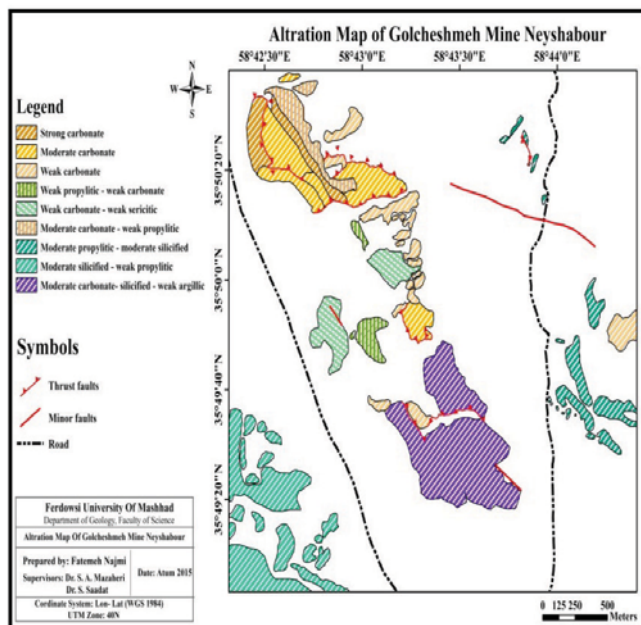
شواهد کانه‌زایی در منطقه گل‌چشم مس بسیار گسترده می‌باشد و به طور کلی کانه‌زایی به اشکال سولفیدی و اکسیدی مس قابل مشاهده است (شکل ۶). کانه‌زایی مس عمدتاً شامل فاز اکسیدی است که به طور ثانویه کانه‌های کربناتی مس شامل ملاکیت، آروریت، کانی سیلیکاته مس کریزوکلا و کانی هیدروکلر مس آتاکامیت را شامل می‌شود. کانه‌های مس در اکثر نقاط منطقه گل‌چشم مس قابل مشاهده می‌باشند که به صورت آغشته‌گی، جانشینی پلازیوکلاز، پرکننده فضاهای خالی و حفرات، دانه پراکنده و رگه‌رگهای به ضخامت ۵/۰ تا ۵ سانتی‌متر اکثر واحدهای سنگی مخصوصاً آندزیت‌ها و پیروکسن آندزیت‌ها را تحت تاثیر خود قرار داده‌اند. بر پایه مطالعه بیش از ۱۸ مقطع نازک صیقلی و بلوك صیقلی، کانه سولفیدی اصلی مس در این منطقه کالکوستیت می‌باشد که به صورت رگه‌های کم ضخامت (کمتر از یک سانتی‌متر) در بخش مرکزی و جنوب‌غربی منطقه و به طور عمده در واحدهای مگاندزیت، آندزیت و پیروکسن آندزیت قابل بررسی و مشاهده می‌باشد. علاوه بر آن در این مقاطع آثاری از حضور دیگر سولفیدها مانند پیریت، کالکوپیریت، بورنیت، کوولیت و به مقدار جزیی دیزئنیت و همچنین مس طبیعی نیز دیده می‌شود. حضور این کانه‌های سولفیدی می‌تواند مovid این مطلب باشد که احتمالاً شاهد دو نسل از کالکوستیت هستیم، نسل اول که به صورت اولیه در درزهای، شکافها و شکستگی‌ها به طور مستقیم از محلول کانه‌دار ایجاد شده و در برخی نقاط در حال تبدیل به کوولیت می‌باشد و نسل دوم کالکوستیت که احتمالاً از تبدیل بورنیت و کالکوپیریت به صورت جانشینی و در شرایط سوپرژن ایجاد شده است. در بیشتر موارد نیز نوعی همرشدی بین کانه‌های مس دیده می‌شود که می‌تواند حاکی از چند مرحله کانه‌زایی در منطقه باشد (شکل ۸). همچنین احتمال اینکه کالکوستیت‌ها به مقدار بیشتری به ملاکیت و کریزوکلا در شرایط اکسیدان تبدیل شده باشند نیز وجود دارد. علاوه بر کانه‌های فوق،

برپایه مطالعات صحرایی و میکروسکوپی انجام گرفته، زون‌های آتراسیون کربناتی ضعیف تا قوی، پروپلیتیک ضعیف تا متوسط در منطقه مشاهده می‌شود که به شرح زیر می‌باشد (شکل ۵):

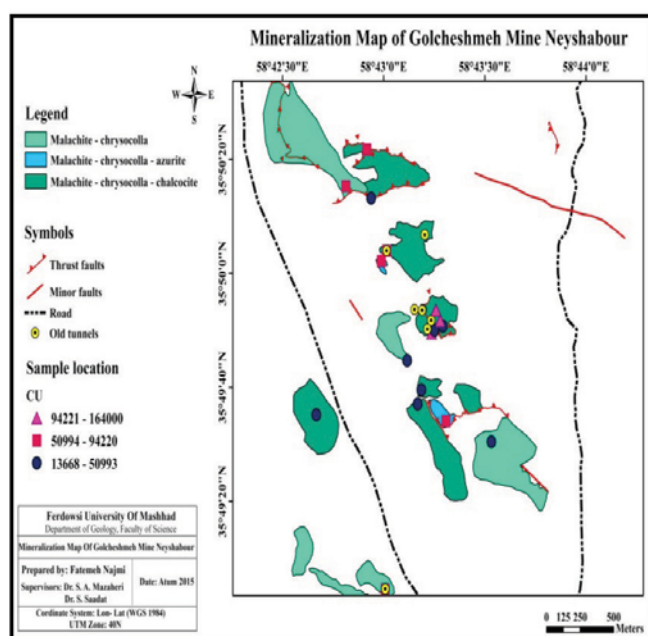
- دگرسانی کربناته قوی: این دگرسانی در بخش شمال‌غرب، واحدهای آندزیت و پیروکسن آندزیت را تحت تاثیر قرار داده است. به طور عمده بیش از ۵۰ درصد پلازیوکلازها و پیروکسن‌ها به کربنات تبدیل شده‌اند.
- دگرسانی کربناته متوسط: این دگرسانی در بخش مرکزی منطقه، واحد آندزیت را تحت تاثیر قرار داده است و پلازیوکلازها در حدود ۴۰ تا ۵۰ درصد تبدیل شدگی به کربنات نشان می‌دهند.
- دگرسانی کربناته ضعیف: این دگرسانی در بخش مرکزی و جنوب‌شرقی منطقه و در واحدهای آندزیت و پیروکسن آندزیت مشاهده می‌شود که پیروکسن‌ها و پلازیوکلازها در حدود ۲۰ تا ۲۵ درصد به کربنات تجزیه شده‌اند.
- دگرسانی کربناته متوسط-آرژلیک ضعیف: این دگرسانی در بخش جنوب‌شرقی، منطقه واحدهای آندزیت، تراکی آندزیت و پیروکسن آندزیت را تحت تاثیر قرار داده است. کانه‌های پلازیوکلاز و پیروکسن در حدود ۳۰ درصد به کربنات و پلازیوکلاز حدود ۵ درصد به کانه‌های رسی تبدیل شده‌اند.
- دگرسانی کربناته متوسط-پروپلیتیک ضعیف: این دگرسانی در بخش شمال‌غرب، واحد هورنبلند آندزیت را در برگرفته است که پلازیوکلاز و هورنبلند در حدود ۲۵ تا ۳۰ درصد به کربنات و پنج تا ۱۰ درصد به اپیدوت و کلریت تبدیل شده‌اند.
- دگرسانی پروپلیتیک متوسط: این دگرسانی بخش کوچکی از شرق منطقه، واحد آندزیت بازالت را تحت تاثیر قرار داده است که کانه‌های موجود در حدود ۲۵ درصد تبدیل شدگی به اپیدوت-کلریت را نشان می‌دهند.
- دگرسانی پروپلیتیک ضعیف: این دگرسانی واحد پیروکسن آندزیت و هورنبلند آندزیت را در مرکز و جنوب‌غرب منطقه در برگرفته است. در حدود پنج تا

سنگی شده‌اند و این ساختارها معبری برای حرکت و نفوذ محلول‌های حاوی مس مهیا کرده‌اند که در نهایت منجر به تمرکز و افزایش عیار اقتصادی ماده معدنی شده است. با توجه به شواهد کانه‌زایی، کانه‌های موجود و سنگ میزان آندزیتی این منطقه معدنی قابل مقایسه با کانسارهای تیپ مانتو و کویناوه (میشیگان) می‌باشد.

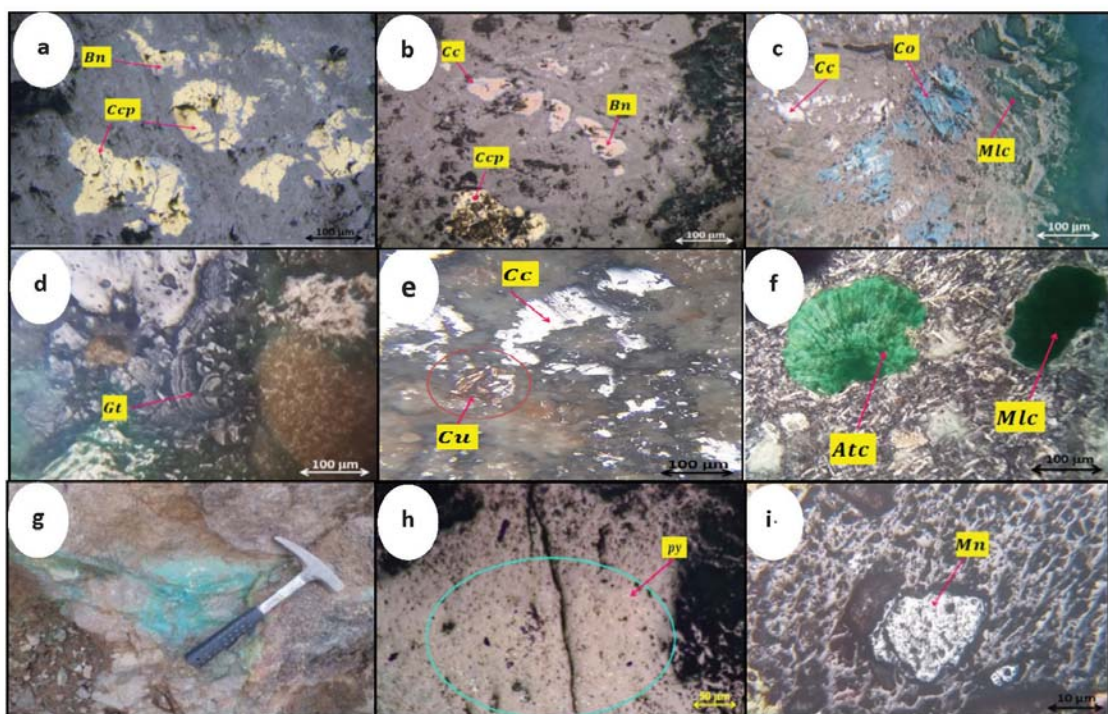
در بسیاری از نقاط، آثار حضور مگنتیت و هماتیت نیز دیده می‌شود که این مگنتیتها عمدها از تجزیه هورنبلندهای موجود در منطقه به وجود آمده‌اند (شکل‌های a-۷ تا i-۷). در منطقه گلچشم‌هه عامل اصلی کانه‌زایی، عملکرد شدید گسل‌ها و نیروهای تکتونیکی می‌باشد که باعث به وجود آمدن درزه، شکستگی و رگه‌رگچه در اکثر واحدهای



شکل ۵. نقشه التراصیون محدوده مورد مطالعه



شکل ۶. نقشه کانه‌زایی محدوده مورد مطالعه



شکل ۷. a) همرشدی کانی‌های کالکوپیریت و بورنیت؛ b) کانی‌های کالکوپیریت می‌باشند؛ c) کانی‌های مالاکیت و کالکوپیریت در حال تبدیل به کولولیت؛ d) حضور گوتیت با بافت گل کلمی؛ e) همرشدی کالکوپیریت و مس طبیعی؛ f) مقطع میکروسکوپی که حفرات توسط مالاکیت و آتاکامیت پر شده است؛ g) کانه‌زایی اکسیدی و سولفیدی مس، شامل آغشته‌گاهی مالاکیت، کریزوکلا و کالکوپیریت؛ h) حضور پیریت دانه پراکنده در متن سنگ آندزیتی؛ i) حضور کانی مگنتیت کالکوپیریت = Ccp، بورنیت = Bn، کالکوپیریت = Co، کولولیت = mal، مس طبیعی = Cu، گوتیت = Gt، پیریت = py)

مس در گدازه‌های آندزیتی، تراکی آندزیتی و بازالتی موجود در حدود ۲۰.۸ تا ۳۸.۳٪ گرم در تن اندازه‌گیری شده است (جدول ۱) که در مقایسه با میزان متوسط آن در سنگ‌های آندزیتی معمولی (۷۵ ppm) بدنوعی غنی‌شده‌گی نشان می‌دهد. اثری از رخداد کانه‌زایی مس در واحدهای تخریبی و کربناتی رسوبی دیده نمی‌شود. به نظر می‌رسد هم‌زمان با فعالیت‌های آتشفسانی، پیریت نیز در سنگ میزان به عنوان اولین سولفید تشکیل شده و سبب ایجاد وضعیت احیایی در حوضه شده است. در این مرحله حضور پیریت عامل مهمی برای ایجاد وضعیت احیایی در سنگ میزان کانه‌زایی محسوب می‌شود.

مرحله کانه‌زایی اولیه (هیپوژن)^۱: در این مرحله سیال‌های مagmaی-گرمایی حاوی کانه در مسیر خود به یک واحد سنگی مناسب با نفوذپذیری بالا و شرایط احیایی

بر پایه مطالعه مقاطع بلوك‌صيقلى و نازك‌صيقلى و بررسى بافت و ساختهای موجود و شواهد صحرایي، توالى پاراژنتيکي کانه‌های موجود در منطقه به صورت زير به دست آمده است:

کانه‌زایی به طور عمده در واحدهای آندزیتی رخ داده است. ترکیب کانی‌شناسی ماده معدنی شامل کالکوپیریت، بورنیت، کالکوپیریت، کولولیت، دیژنیت، تترائدریت، مس طبیعی، پیریت، مالاکیت، آزوریت، کریزوکلا و آتاکامیت می‌باشد که به صورت رگه-رگچه‌ای، پرکننده فضاهای خالی، جانشینی، پراکنده و تراوشی دیده می‌شود.

مرحله فعالیت آتشفسانی^۲: در این مرحله در شرایط کششی حاکم بر حوضه درون کمان آتشفسانی ائوسن در زیر پهنه سبزوار، سنگ‌های آتشفسانی، آذرآواری، تخریبی و کربناتی رسوبی تشکیل شده‌اند. بر اساس مطالعات ICP-MS انجام گرفته از واحدهای سنگی منطقه، میزان

توالى پاراژنتيکي کانسار

1. Early mineralization (Hypogen)

2. Volcanic activity

از فرآیندهای تکتونیکی و زمین‌ساختی در منطقه، در اثر چین خوردگی و بالاًمدگی سنگ میزبان کانه‌زایی، فرآیندهای سوپرژن سبب تغییراتی در ترکیب کانه‌نگاری سنگ‌ها شده و موجب تغییر و تبدیل کانه‌های سولفیدی اولیه کالکوپیریت، بورنیت و کالکوسیت به کانه‌های ثانویه سولفیدی مس مانند کالکوسیت ثانویه، کوولیت، دیزنیت، تترائدریت و مس طبیعی و همچنین کانه‌های کربناتی و سیلیکاتی مس مانند مالاکیت، آزوریت، کریزوکلاو آتاکامیت و کانه‌های اکسیدی و هیدروکسیدی مانند هماتیت، مگنتیت و گوتیت در شرایط کاملاً اکسیدان شده‌اند.

رسیده و در نتیجه حضور پیریت (واحدهای آندزیتی) رسیده و احتمالاً به جای پیریهای تشکیل شده در مرحله قبل جانشین می‌شوند و موجب تشکیل سولفیدهای اولیه مس در این مرحله می‌شوند. به احتمال زیاد مس موجود پس از شسته شدن از سنگ‌های آتشفشاری، به صورت کمپلکس کلریدی حمل شده و پس از واکنش با پیریت، به صورت سولفیدهای اولیه مس شامل کالکوپیریت، بورنیت و کالکوسیت جانشین پیریت‌های تشکیل شده در مرحله پیش از کانه‌زایی شده است.

مرحله کانه‌زایی برون‌زاد (سوپرژن): در این مرحله و پس

Minerals	Processess	Pre-Mineralization	Mineralization		
			Hypogene Stage	Supergene Stage	Oxidation Stage
Pyrite		—			
Chalcopyrite		—	—		
Bornite		—	—		
Chalcocite		—	—	—	
Covelite				—	
Digenite					
Tetraedrite			—		
Native Copper			—		
Malachite				—	
Azurite					—
Chrysocolla					—
Atacamite					—
Hematite					—
Magnetite					—
Neotecite		—	—	—	—
Gangue		—	—	—	—

شکل ۸. مراحل تشکیل و توالی پاراژنیکی کانسار، در سه مرحله هیپوژن، سوپرژن و اکسیدان در معدن مس گل‌چشمه

بحث

شدن تیپ کانه‌زایی، ویژگی‌های بحرانی و اساسی کانسار مس گل‌چشمه با ویژگی‌های کانسارهای مس تیپ مانتو در شیلی مقایسه شده است.

محیط ژئوتکتونیکی و سنگ میزبان: در کانسارهای مس واقع در شیلی، بر اساس شواهد موجود، کانه‌زایی مس

همان‌گونه که بیان شد معدن مس گل‌چشمه در جنوب نیشابور دارای شباهت‌هایی با کانسارهای مس تیپ مانتو است. ذخایر مس نوع چینه‌کران، یکی از بزرگ‌ترین ذخایر سولفیدی مس هستند. محیط نهشتۀ شدن این ذخایر بسیار متنوع بوده و می‌توانند در همه مراحل یک چرخه زمین‌ساختی مagmaی-رسوبی تشکیل شوند. برای مشخص

1. Post-mineralization (Supergen)

این تیپ کانسارها نیز ماده معدنی در داخل رگه - رگچه‌ها و به صورت پرکننده حفرات تشکیل شده است.

کانی‌شناسی و عناصر همراه: در کانسارهای تیپ مانتو در تمام نقاط دنیا و به طور خاص در شیلی، مهم‌ترین کانه‌های سولفیدی موجود در کانسار شامل کالکوسیت، بورنیت و کالکوپیریت به همراه مقادیری پیریت می‌باشد. البته بسته به نوع شرایط حاکم بر تشکیل کانسار، این کانه‌ها دارای مقادیر متفاوتی هستند، به طوری که در بعضی نقاط مقدار کالکوسیت از بورنیت بیشتر است و بالعکس. علاوه بر کانه‌های فوق، در این تیپ کانسارها، مقادیری کوولیت، مس طبیعی، تترائدریت، دیثنیت، اسفالریت و همچنین کانه‌های اکسیدی مانند مالاکیت، کریزوکلا و آتاکامیت دیده می‌شود (سامانی، ۱۳۸۱) مهم‌ترین عنصر همراه با مس در این تیپ کانه‌زایی نقره است که میزان آن از هشت تا ۳۲ گرم در تن تعییر می‌کند (Maksaev and Zentilli, 2002). در بعضی از نقاط به حضور بیتومن نیز به عنوان یک کانه اصلی که عمدتاً جانشین پیریت می‌شود اشاره شده است (ابولی پور و همکاران، ۱۳۹۴). در کانسار مس گل‌چشمی بر اساس نتایج بدست آمده از آنالیزهای ICP-MS و ICP-OES به ترتیب میزان نقره موجود بین یک تا ۱۲/۱ گرم در تن و ۰/۳۳ تا ۱/۱۷ گرم در تن متغیر است. علاوه بر این، مهم‌ترین کانه سولفیدی مس در این منطقه کالکوسیت می‌باشد. همچنین نوعی زون‌بندی در این تیپ کانسارها وجود دارد که در منطقه گل‌چشمی شامل پیریت، کالپوپیریت‌بورنیت، کالکوپیریت‌کالکوسیت، بورنیت‌کالکوسیت و کالکوسیت می‌باشد.

دگرسانی و کانی‌های گانگ: به طور کلی دگرسانی در کانسارهای تیپ مانتو گسترش کمی دارد و به طور معمول نقش مهمی در تعیین تیپ کانه‌زایی ایفا نمی‌کند. مهم‌ترین دگرسانی‌ها در این تیپ کانه‌زایی شامل کربناتی، کلریتی، اپیدوتی (پروپیلیتیک)، سیلیسی و سرسیتی شدن است. هرچند که دگرسانی آلبیتی فقط در بعضی از کانسارهای تیپ مانتو گزارش شده است، اما پدیده هماتیتی شدن سنگ میزان در این تیپ کانسارها از اهمیت زیادی برخوردار است، به طوری که مجموعه سنگ‌های دارای رخداد کانه‌زایی دارای

لایه‌کران نوع مانتو عمدتاً در یک حوضه پشت کمانی و تحت تاثیر نیروهای کششی رخ داده است (Richards et al., 2001; Morata and Aguirre, 2003) گل‌چشمی نیشابور سنگ‌های میزان کانه‌زایی، گدازه‌های آندزیتی، آندزیتی-بازالتی و بازالت‌های کالک‌آلکالن با گرایش شوشوونیتی هستند (شکل ۸-a). در حالی که سنگ‌های میزان و همراه کانه‌زایی مس در کانسارهای شیلی شامل لایه‌های آندزیت و بازالت‌های کالک‌آلکالن تا تولئیتی با میزان پتاسیم بالا هستند (Tristá-Aguilera et al., 2006). بر اساس شواهد و بررسی‌های انجام شده در منطقه گل‌چشمی، سنگ میزان، سنگ‌های آندزیتی مانند پیروکسن آندزیت، تراکی آندزیت، هورنبلند آندزیت، آندزیت و آندزیت‌بازالت با بافت عده پورفیری در زمینه‌ای دانه‌ریز و آمیگدالوئیدال می‌باشد که به صورت متناوب با واحدهای دیگر شامل توف، توف ماسه‌سنگی، آگلومرا و سنگ آهک نومولیت‌دار همراه شده است. بر اساس بررسی شواهد موجود، می‌توان گفت که سنگ میزان کانه‌زایی در هر دو نوع کانسار تقریباً یکسان و مشابه می‌باشد.

ژئومتری و شکل ماده معدنی: به طور کلی کانسارهای تیپ مانتو در تمام مناطق دنیا به عنوان کانسارهایی چینه‌کران محسوب می‌شوند که به یک واحد چینه‌ای خاص محدود می‌گردند. در واقع این بدين معنی است که ماده معدنی تنها در یک واحد سنگی خاص شکل می‌گیرد، اما در برخی نقاط در این تیپ کانسارها دو یا سه واحد سنگی متفاوت به عنوان میزان کانه‌زایی معرفی شده‌اند (Kojima et al., 2009). به طور کلی در این تیپ کانسارها کانه‌زایی ساختار لایه‌کران داشته و جایه‌جایی‌ها و گسل خوردگی‌های بعدی موجب انقطاع و گسستگی آنها شده است (سامانی، ۱۳۸۱) (Tristá-Aguilera et al., 2006). در منطقه گل‌چشمی کانه‌زایی هیپوزن و سوپرزن در واحدهای آندزیتی موجود رخ داده است که این می‌تواند نشان‌دهنده وضعیت چینه‌کران کانه‌زایی در این محدوده باشد. در این محدوده ماده معدنی به طور گستردۀ به شکل رگه - رگچه‌ای، پرکننده فضای خالی و حفرات و بعضی جانشینی نهشته شده است که از این نظر نیز با کانسارهای تیپ مانتو شباهت دارد. به دلیل اینکه در

این شباهتها، این کانسار تفاوت‌هایی با ذخایر نوع مانتو نیز دارد. کانسارهای تیپ مانتو در شیلی، در بازه سنی ژوراسیک فوقانی- کرتاسه تحتانی تشکیل شده‌اند، حال آنکه در منطقه گل‌چشمه سن واحدهای سنگی مربوط به دوره زمانی ائوسن و یا جوان‌تر می‌باشد هرچند که این تفاوت سنی چندان حائز اهمیت نیست. در این کانسارها حفرات علاوه بر کانی‌های فوق، توسط زئولیت پر شده‌اند اما در منطقه گل‌چشمه آثاری از حضور زئولیت مشاهده نشد، هرچند که در بعضی از مجموعه کانسارهای شیلی نیز زئولیت وجود ندارد. کانسارهای مس تیپ مانتو، با ذخیره نزدیک به ۴۰۰ میلیون تن، ذخایری با تناز بالا هستند (Maksaev and Zentilli, 2002).

در حالی که ذخیره معدنی مس گل‌چشمه نزدیک به سه میلیون تن مس می‌باشد. البته باید در نظر داشت که ذخیره مجموع کل چندین کانسار در شیلی این مقدار برآورد شده است و احتمالاً تناز هر ذخیره کانسار کمتر از این مقدار است. این در حالی است که منطقه گل‌چشمه فقط یک کانسار مجزا است که این میزان ذخیره برای آن تخمین زده شده است. در ادامه نیز منطقه معدنی گل‌چشمه با انواع مشابه در ایران شامل کانسارهای عباس‌آباد سبزوار، بوئنا‌سپرانزا شیلی و میشیگان آمریکا مقایسه شده است (جدول ۱).

پترولوزی و ژئوشیمی عناصر کمیاب و نادر خاکی

از مجموع نمونه‌های برداشت شده از لایه‌های ولکانیکی، پس از بررسی مقاطع نازک و انجام مطالعات پتروگرافی، با توجه به شواهد و روابط صحرایی تعداد ۱۲ نمونه معرف، که کمترین میزان آلتراسیون را متحمل شده بودند، انتخاب شده و به منظور تعیین اکسیدهای اصلی و عناصر جزئی توسط دستگاه XRF تحت آنالیز قرار گرفتند. همچنین پس از بررسی نتایج آنالیز عناصر اصلی، تمامی این نمونه‌ها به منظور آنالیز عناصر کمیاب و نادر خاکی (REE) به روش ICP-MS، ۵۸ عنصری در آزمایشگاه SGS کشور صربستان مورد تجزیه قرار گرفتند (جدول ۲). براساس نمودار تغییرات SiO_2 در K_2O ، سنگ‌های آتش‌فشاری منطقه گل‌چشمه در قلمرو سری مagmaهای شوشاونیتی قرار می‌گیرند (شکل ۹-a)

میزان بالایی از هماتیت و هیدروکسیدهای آهن هستند (Kojima et al., 2009). در منطقه گل‌چشمه در مجموعه واحدهای آندزیتی میزان کانه‌زایی، کربناتی شدن به طور چشمگیری رخ داده است و تمامی واحدها را با شدت کم تا زیاد در بر گرفته است. اگرچه دگرسانی‌های هیدروکسیدی آهن (هماتیتی‌شدن)، سیلیسی، پروپلیتیک و مقادیر بسیار جزئی سرسیتی و آرژیلیکی شدن در آنها دیده می‌شود، اما در مقیاس کلی رخداد دگرسانی در منطقه گسترش و اهمیت چندانی ندارد و از این نظر نیز با کانسارهای تیپ مانتو قرابت و نزدیکی دارد. در کانسارهای مانتو در شیلی، مهم‌ترین کانی‌های گانگ و باطله همراه با کانه‌زایی مس شامل کربنات، سیلیس، هماتیت و کلریت هستند. در برخی از این تیپ کانسارها، آلکالی فلدسپار نیز به صورت گانگ و در همراهی با رخداد کانه‌زایی دیده می‌شود. در منطقه معدنی گل‌چشمه کانی‌های گانگ همراه با کانه‌زایی شامل کربنات، سیلیس آمورف و هماتیت است که در این بین کربنات بیشترین فراوانی را دارا می‌باشد و از این نظر نیز این کانسار مشابه با کانسارهای موجود در شیلی است.

ساخت و بافت ماده معدنی: از مهم‌ترین ساخت و بافت‌های موجود در کانسارهای تیپ مانتو می‌توان به پرکننده فضاهای خالی و حفرات، رگه‌رگچه‌ای، دانه پراکنده و جانشینی اشاره کرد که در تمامی این مجموعه کانسارها قابل مشاهده است (Hermosilla and Cisternas, 2006; Rieger et al., 2008). در منطقه گل‌چشمه تمامی این بافت و ساخت‌ها در واحدهای سنگی قابل مشاهده و بررسی می‌باشد و کانه‌زایی به طور عمده در رگه- رگچه‌ها، فضاهای خالی و حفرات و شکستگی‌ها و زون‌های گسله رخ داده است، هرچند که در بسیاری نقاط نیز رخداد کانه‌زایی را به صورت تراویشی و آغشتنگی در سنگ میزان می‌توان مشاهده کرد.

تفاوت‌های این کانسار با تیپ مانتو: بر اساس بررسی‌های صورت گرفته کانسار مس گل‌چشمه از نظر ویژگی‌های مربوط به محیط ژئوتکتونیکی، کانی‌شناسی، ساخت و بافت، نوع سنگ میزان، کانه‌ها، عناصر همراه و دگرسانی، شباهت زیادی با کانسارهای تیپ مانتو در شیلی نشان می‌دهد. اما علیرغم

براساس شاخص آلومینیوم نشان می‌دهد که اکثر نمونه‌ها در محدوده متالآلومینوس قرار می‌گیرند و فقط یکی از نمونه‌ها در محدوده پرآلومینوس واقع می‌شود (شکل ۹-d) (Shand, 1943). بر اساس نمودار مقدار اکسید سیلیسیم به نسبت زیرکن به اکسید تیتانیم از مجموع نمونه‌ها موجود ۱۰ نمونه در قلمرو آندزیت‌ها و یک نمونه در قلمرو آندزیت بازالت‌ها قرار می‌گیرد و همچنین یکی از نمونه‌ها به دلیل دگرسانی جابه‌جایی نشان می‌دهد که با مشاهدات اولیه و صحرایی کاملاً مطابقت دارد (شکل ۹-e) (Winchester and Floyd, 1977).

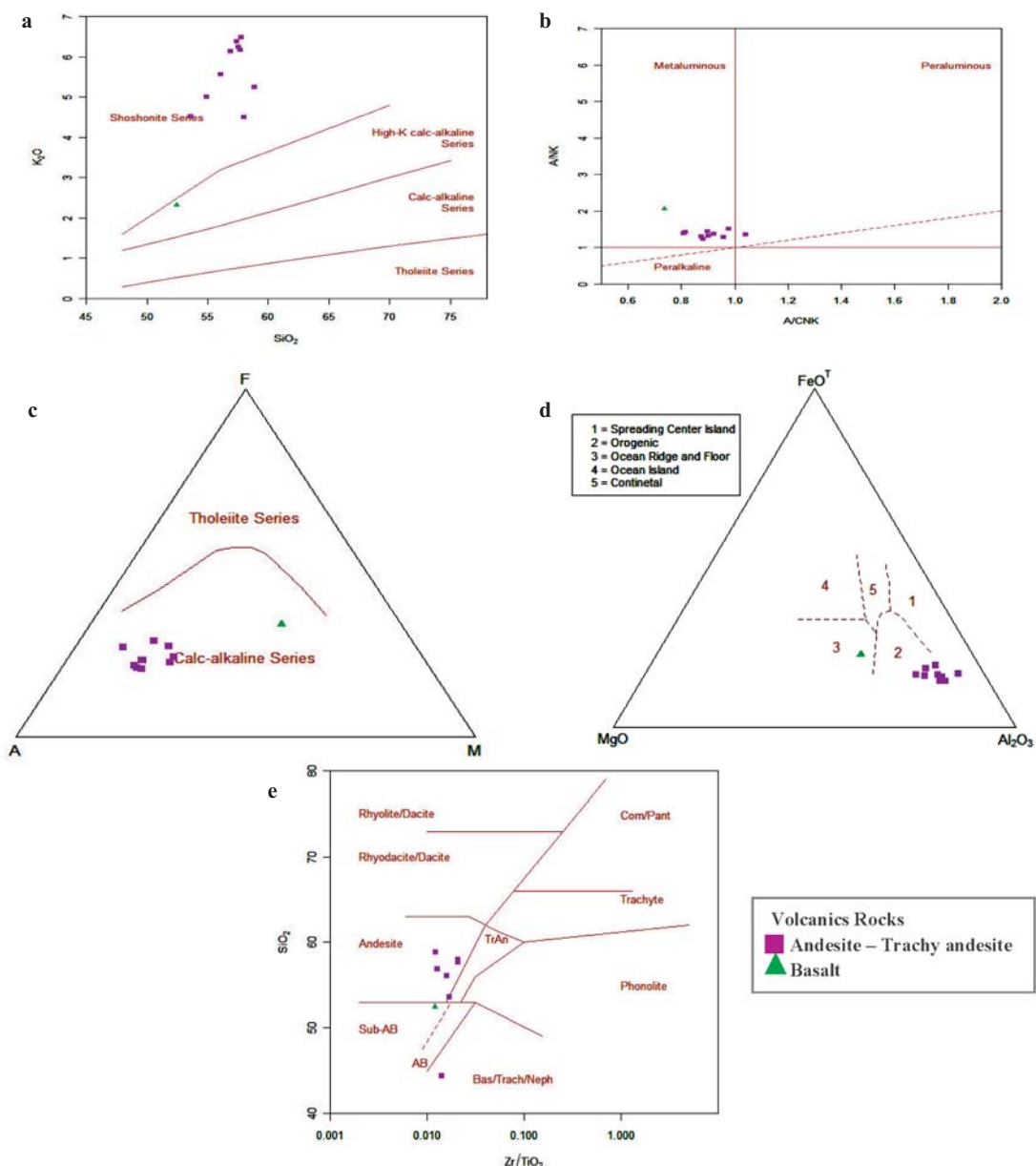
(Peccerillo and Taylor, 1976) سنگ‌های آذرین منطقه از لحاظ سری‌های ماگمایی از نمودار (AFM, $F=FeO$, $M=MgO$, $A=K_2O+Na_2O$) استفاده گردید و مشخص شد که تمامی نمونه‌ها در امتداد روند کالک آکالن قرار می‌گیرند (شکل ۹-b) (Irvine and Bargar, 1971). در نمودار سه تایی (Al_2O_3 , MgO , FeO) نیز سنگ‌های آتش‌شانی منطقه، جزء سری‌های آندزیتی کوه‌زایی (اوروژنی) قرار می‌گیرند. یکی از نمونه‌ها به علت دگرسانی شدید جابه‌جایی نشان می‌دهد (شکل ۹-c). طبقه‌بندی سنگ‌های منطقه

جدول ۱. مقایسه کانسار مس گل‌چشمی با انواع مشابه در ایران، شیلی و آمریکا

نام کانسار ویرگی‌ها	مانتو موقعیت	مانتو منتو	نوع مانتو شیلی	نوع مانتو ایالات متحده (کانسار میشیگان)	نوع میشیگان (آمریکا)
سنگ میزبان	آندزیت، آندزیت بازالت، بازالت با بافت پورفیری	آندزیت و بازالت پورفیری	بازالت - آندزیت با میان لایه‌های گنگ‌لومرا و برش	بازالت - آندزیت	شب‌جزیره کوبیانوی، ایالات متحده (کانسار میشیگان)
شكل واحدها	رگه - رگچه‌ای، پرکننده حفرات و فضای خالی و جاشینی	چینه‌کران	چینه‌کران	چینه‌کران	رگه - رگچه‌ای، پرکننده حفرات - فضای خالی
بافت ماده معدنی	کربنات، کلریت، اپیدوت و سیلیسی	رگه	رگه	رگه - رگچه‌ای، پرکننده حفرات - فضای خالی	رگه - رگچه‌ای، پرکننده حفرات - فضای خالی و جاشینی
کانه‌های گانگ	رگه - رگچه‌ای، پرکننده حفرات و فضای خالی و جاشینی	رگه	رگه	رگه - رگچه‌ای، پرکننده حفرات - فضای خالی	رگه - رگچه‌ای، پرکننده حفرات - فضای خالی و جاشینی
دگرسانی	دگرسانی عمده کربناتی و اندکی پروپلیتیک و سیلیسی، سرسیتی	کلریت	کلریت	کلریت، آلبیت، کوارتز، اپیدوت و زئولیت	کلریت، آلبیت، کلریتیک، سیلیسی، زئولیتی و سرسیتی
پاراژنر کانه	کالکوسیت، کوولیت، آزویریت دیژنیت، کریزوکلا، مس طبیعی کالکوبیریت، بورنیت	کالکوسیت، کوولیت، کالکوبیریت، پیریت، گالن، مس طبیعی	-	مس طبیعی، کالکوسیت، کوولیت، دیژنیت، کالکوبیریت، پیریت، گالن، مس طبیعی	مس طبیعی، مالاکیت، آزویریت، کالکوسیت کریزوکولا، پیریت، کالکوبیریت، دیژنیت
شناختی	کالکوبیریت، بورنیت، مالاکیت	-	-	-	عنصر مشتق شده از سنگ میزبان
ژن و تیپ	توسط منبع ماگمایی (توده در عمق)	-	-	عنصر مشتق شده از سنگ میزبان	فعالیت‌های دگرگونی میزبان طی دیاژنر

جدول ۲. نتایج آنالیز عناصر اصلی، کمیاب و نادر خاکی سنگ‌های ولکانیکی محدوده مورد مطالعه

Sample	XRF2	XRF4	XRF14	XRF15	XRF17	XRF29	XRF30	XRF49	XRF3	XRF7	XRF23	XRF34
%Wt												
SiO ₂	۵۳/۶۲	۵۶/۸۸	۵۸/۸۷	۵۷/۶۸	۵۲/۴۶	۵۸/۱	۵۶/۰۶	۴۴/۲۲	۵۷/۵۴	۵۷/۴۲	۵۷/۷۴	۵۴/۹۶
TiO ₂	۰/۸۲	۰/۹۸	۱/۱۲	۰/۸	۰/۹۳	۰/۷۷	۰/۸۲	۰/۹۲	۰/۷۴	۱/۱۱	۱/۰۳	۰/۹۳
Al ₂ O ₃	۱۸/۶۸	۱۸/۴۵	۱۸/۴۵	۱۸/۳۱	۱۵/۵۷	۱۷/۲۵	۱۷/۴۴	۱۳/۶۸	۱۸/۱	۱۸/۵۵	۱۸/۰۸	۱۸/۳۷
FeOt	۴/۷۴	۳/۹۲	۳/۷۵	۳/۶۸	۶/۶۸	۲/۷۴	۴/۰۵	۴/۱۲	۳۲/۳	۳/۳۷	۳/۳۱	۴/۷۲
SrO	۰/۰۸	<۰/۰۵	<۰/۰۵	<۰/۰۵	۰/۰۶	<۰/۰۵	۰/۰۶	<۰/۰۵	۰/۰۵	۰/۰۵	۰/۰۵	۰/۰۷
MgO	۳/۶۸	۲/۹۷	۱/۵۵	۲/۷۱	۸/۵۵	۳/۷۲	۴/۳۷	<۰/۰۵	۲/۹۶	۲/۸	۲/۷۳	۲/۸۲
CaO	۵/۲۸	۲/۷	۳/۶۳	۳/۵۹	۷/۴۹	۳/۹۶	۳/۰۵	۱۵/۰۲	۳/۷۴	۲/۲۵	۳/۵۱	۵/۲۶
Na ₂ O	۵/۲۵	۴/۶۸	۴/۰۲	۴/۰۵	۳/۰۸	۴/۳۲	۵	۴/۷۵	۴/۳۲	۴/۱۵	۴/۰۶	۴/۵۷
K ₂ O	۴/۵۲	۶/۱۴	۵/۲۴	۶/۱۶	۲/۳۱	۴/۵	۵/۵۶	۵/۸۵	۶/۲۳	۶/۳۸	۶/۴۸	۵/۰۱
P ₂ O ₅	۰/۸۸	۰/۹۸	۰/۸۷	۱/۰۴	۰/۷۳	۰/۸۹	۰/۷۹	۰/۰۳	۱/۵۴	۰/۹۵	۱/۰۹	۱/۴۹
LOI	۲/۴۴	۲/۰۱	۲/۰۵	۲/۰۱	۲/۱۶	۲/۵۴	۲/۳۵	۹/۰۴	۱/۵	۱/۴۹	۱/۸۹	۱/۷۹
ppm												
Ba	۴۶۴	۳۳۶	۳۱۶	۸۷۶	۴۷۴	۴۵۶	۴۵۴	۵۲۰	-	-	-	-
Rb	۹۹/۵	۷/۰/۶	۹۴/۹	۹۹/۸	۹۹/۸	۱۱۷	۱۰۹	۱۳۱	-	-	-	-
Sr	۶۰۰	۲۳۳	۱۳۶	۳۰۰	۶۹۱	۳۴۶	۴۲۲	۳۲۵	-	-	-	-
Zr	۱۳۸	۱۲۵	۱۳۶	۱۶۶	۱۱۱	۱۵۹	۱۳۲	۱۳۱	-	-	-	-
Nb	۱۶/۹	۱۸/۹	۱۹/۸	۲۱/۲	۱۴/۵	۲۰/۹	۱۷/۳	۲۰/۲	-	-	-	-
Zn	۵۴/۶	۵۸/۵	۷۱/۲	۹۷/۱	۹۳/۳	۶۹/۹	۱۰۸	۴۴/۲	-	-	-	-
La	۱۸/۱	۳/۰	۳/۴	۱/۶	۱/۲۱	۸/۳	۱۴/۹	۱۹/۵	-	-	-	-
Ce	۳۵/۵	۵/۹۹	۷/۰/۱	۱۲/۰	۴۴/۵	۱۶/۶	۲۸/۴	۳۷/۲	-	-	-	-
Pr	۴/۳۳	۰/۷۷	۰/۸۶	۱/۵۹	۵/۳۹	۲/۰	۳/۳۸	۴/۱۴	-	-	-	-
Nd	۱۶/۹	۳/۰/۳	۳/۲۶	۶/۵۸	۲۲/۰	۸/۲۱	۱۳/۳	۱۴/۷	-	-	-	-
Sm	۳/۷۳	۰/۹۱	۰/۹۵	۱/۷۹	۵/۱۹	۲/۰/۱	۲/۷۶	۲/۸۴	-	-	-	-
Eu	۱/۲۶	۰/۳۸	۰/۳۲	۰/۸۷	۱/۷۳	۰/۷۱	۱/۰۰	۰/۹۶	-	-	-	-
Gd	۳/۴۵	۰/۸۲	۰/۸۵	۱/۴۵	۵/۰۸	۱/۸۴	۲/۵۸	۲/۵۹	-	-	-	-
Tb	۰/۴۸	۰/۱۳	۰/۱۴	۰/۲۶	۰/۸۱	۰/۳۰	۰/۴۱	۰/۳۸	-	-	-	-
Dy	۲/۹۶	۰/۸۹	۱/۰/۵	۱/۶۵	۴/۵۹	۱/۹۴	۲/۳۶	۲/۳۶	-	-	-	-
Ho	۰/۰۷	۰/۱۷	۰/۲۳	۰/۳۳	۰/۸۷	۰/۳۷	۰/۵۰	۰/۴۵	-	-	-	-
Er	۱/۸۰	۰/۶۲	۰/۷۱	۱/۲۰	۲/۵۹	۱/۴۳	۱/۵۳	۱/۴۹	-	-	-	-
Yb	۱/۸	۰/۷	۰/۸	۱/۳	۲/۲	۱/۴	۱/۳	۱/۵	-	-	-	-
Lu	۰/۲۵	۰/۱۲	۰/۱۳	۰/۲۱	۰/۳۴	۰/۲۳	۰/۲۳	۰/۲۴	-	-	-	-
Y	۱۶/۱	۴/۸	۶/۲	۹/۶	۲۴/۷	۱۱/۰	۱۳/۳	۱۲/۶	-	-	-	-
Cs	۰/۹۸	۳/۳۴	۳/۹۶	۳/۶۵	۲/۵۵	۳/۶۳	۱/۱۵	۲/۹۱	-	-	-	-
Ta	۱/۲۷	۱/۲۲	۱/۱۵	۱/۳۱	۱/۴۵	۱/۳۴	۱/۱۸	۱/۴۹	-	-	-	-
Hf	۳/۲۷	۲/۹۲	۳/۲۲	۳/۸۶	۳/۱۳	۳/۷۵	۳/۱۴	۳/۳۱	-	-	-	-
Ga	۱۶/۱	۱۶/۳	۱۵/۵	۱۷/۶	۱۸/۳	۱۸/۰	۱۵/۲	۱۳/۶	-	-	-	-
Th	۴/۵	۰/۹	۱/۴	۲/۴	۴/۹	۲/۴	۳/۴	۵/۵	-	-	-	-
U	۱/۲	۰/۲	۰/۲	۰/۴	۱/۵	۰/۵	۱/۲	۲/۱	-	-	-	-
V	۲۶۴	۳۸۲	۳۷۷	۴۶۰	۲۸۸	۴۴۱	۳۵۸	۳۹۷	-	-	-	-
W	۲/۴	۲/۶	۱/۷	۱/۴	۱/۴	۲/۹	۱/۶	۲/۲	-	-	-	-



شکل ۹. a) نمودار تعیین شاخص پتاسیم (Peccerillo and Taylor, 1976)؛ b) نمودار تعیین شاخص آلومینیوم (Shand, 1943)؛ c) نمودار AFM جهت تدقیک سنگ‌های آذرین کالک آلومنیومی (Alkali-earthen Aluminosilicate)؛ d) نمودار جدکننده محیط‌های تکتونیکی سنگ‌های آتش‌فشانی؛ e) نمودار مقدار اکسید سیلیسیم به نسبت زیرکن به اکسید تیتانیم (Winchester and Floyd, 1977)

در نمودار نرم‌الیزشده نمونه‌های سنگی منطقه مورد مطالعه نسبت به استاندارد پوسته اقیانوسی، از مقادیر استاندارد ارائه شده توسط (Pearce, 1984) استفاده شد (شکل ۱۰-a). بر این اساس مشخص شد که سنگ‌های موجود در منطقه گل‌چشمی از نظر عناصر سبک غنی‌شدگی بیشتری نسبت به عناصر سنگین نشان می‌دهند. در

عناصر کمیاب و نادر خاکی الگوی مهمی جهت بررسی فرآیندها و تحولات مagmaی ارائه می‌نمایند. این عناصر در تعیین میزان غنی‌شدگی و تهی‌شدگی سنگ‌ها، نسبت به یک استاندارد اولیه مورد استفاده قرار می‌گیرند. با توجه به نوع سنگ‌های منطقه گل‌چشمی در بررسی عناصر نادر خاکی این محدوده، از نمودارهای عکبوتوی نرم‌الیزشده بر حسب متوسط بازالت‌های پوسته اقیانوسی (MORB) و

عنصر Eu مشاهده می‌شود، آنومالی مشخصی از این عنصر در نمونه‌های موجود مشاهده نمی‌گردد. هرگاه نسبت Eu/Eu^* بیش از یک باشد ناهنجاری مثبت و هرگاه کمتر از یک باشد ناهنجاری منفی است. این نسبت در نمونه‌های منطقه گل‌چشمی بین $1/0.1$ تا $1/6$ در تغییر است (جدول ۲)، که بیانگر حضور مقدار کمتر و یا نبود پلاژیوکلاز در منشا (Taylor and McLennan, 1985) به طور کلی ناهنجاری مثبت نسبت Eu/Eu^* در نمونه‌های منطقه گل‌چشمی می‌تواند نشان از این داشته باشد که کانی پلاژیوکلاز در سنگ منشا به عنوان کانی باقیمانده حضور کمرنگی داشته و یا اصل‌اً حضور نداشته است و شرایط ذوب ماغما در حالت اکسیدان بوده است (Wilson, 1989). همچنین از نسبت La/Yb می‌توان نسبت حضور گارنت و در نتیجه عمق ذوب ماغما را برآورد نمود. این نسبت در منطقه مورد مطالعه بین $2/85$ تا $8/76$ در تغییر است که نشان دهنده تشکیل ماغما در عمق کمتری از پایداری گارنت و درجه ذوب بخشی کم می‌باشد.

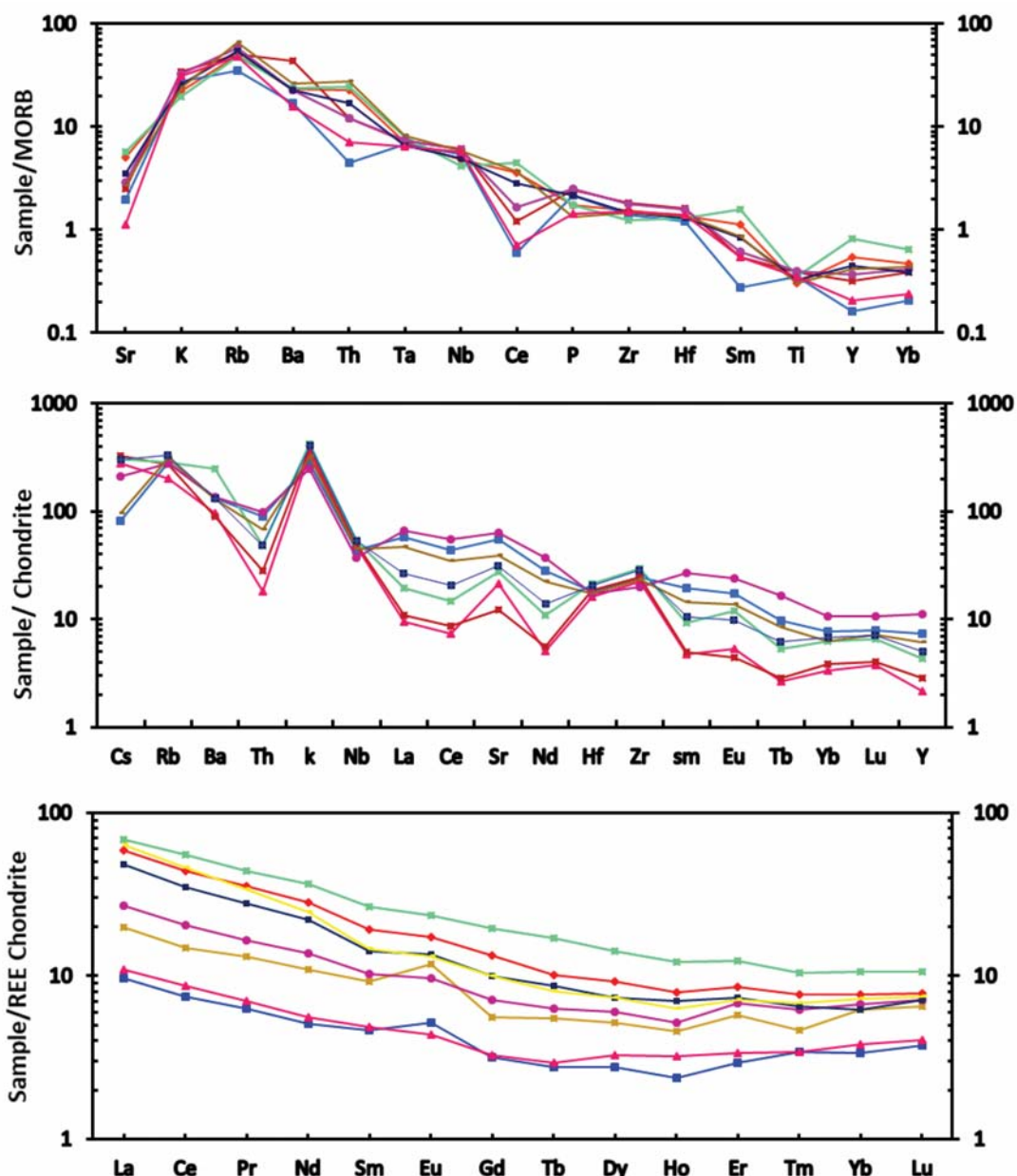
نتیجه‌گیری

براساس نتایج به دست آمده از مشاهدات صحرابی، بررسی‌های آزمایشگاهی و آنالیزهای رئوشیمیابی، در منطقه معدنی گل‌چشمی، کانه‌زایی شباهت‌هایی با کانسارهای تیپ مانتو نشان می‌دهد. رخداد کانه‌زایی در یک افق چینهای خاص رخ داده است و به طور گسترده در ارتباط با واحدهای آندزیتی موجود بوده است. کانه‌نگاری به طور عمده شامل کالکوپیریت، بورنیت، کالکوپیریت و مقادیر جزئی کوولیت، دیزیت، تتراندزیت و مس خالص می‌باشد که به صورت رگه‌رگچه‌ای، پرکننده حفرات و فضاهای خالی، دانه پراکنده و جانشینی رخ داده است. اما در این تیپ کانسارها ویژگی قابل ملاحظه‌ای وجود دارد که کمتر به آن توجه شده است، با اینستی در این کانسارها محلول‌های حاوی مس را از نظر شیمی محلول مورد بررسی قرار داد. مبنی بر اینکه که محلول‌های مس عمدهاً فقری از آهن بوده‌اند و به همین دلیل منجر به تشکیل کالکوپیریت به جای کالکوپیریت شده‌اند، به این دلیل که اگر محلول حاوی مس، سرشار

این نمودار مشاهده می‌شود که بیشترین غنی‌شدگی عناصر مربوط به عناصر لیتوفیل بزرگ یون (LFS) مانند Rb، K و Ba می‌باشد. علاوه بر این، تهی‌شدگی در عناصر باشد میدان بالا (HFS) مانند Ce، Ti و Y دیده می‌شود. تهی‌شدگی در عناصر HFS مانند Ce، Y و Ti می‌تواند یکی از ویژگی‌های ماقماهای مرتبط با زون فروزانش به شمار رود (Pearce et al., 1984). شایان ذکر است برخی از این مطالب در مورد تمامی نمونه‌ها صادق نیست. نمونه‌های XRF30، XRF17، XRF2 تهی‌شدگی در Ce و Y نشان نمی‌دهند و متقابلاً تا حدودی Nb تهی‌شدگی نشان می‌دهد.

جهت مقایسه شیمی سنگ با ترکیب کندریتی و رفتار عناصر فرعی ماغما از نمودار عنکبوتی نرمالیزه شده نسبت به کندریت استفاده شده است. در نمودار نرمالیزه شده از مقادیر استاندارد (Gerlach et al., 1988) استفاده گردید (شکل ۱-۱۰). بر اساس اطلاعات حاصل از این نمودار، مشخص گردید که عناصر کم تحرک (HFS) که شامل عناصر نادر خاکی هم می‌شوند از قبیل Y، Nd و Th به نوعی تهی‌شدگی نشان می‌دهند. بالا بودن غلظت عناصر متحرک (LIL) مانند K، Rb و Ba تابعی از رفتار سیال است که می‌تواند نشانگر حضور و تجمع این عناصر در مراحل انتهایی تبلور ماغما باشد. علاوه بر این، مقدار بالای Nb (بیش از ۱۶ گرم در تن)، غنی‌شدگی Rb و نسبت Zr/Nb (کمتر از ۲ و بین $7/0$ تا $46/0$) می‌تواند نشان دهنده آغشتگی ماغما با پوسته قاره‌ای باشد (Rollinson, 1993).

نمونه‌های سنگی موجود در منطقه گل‌چشمی نیز نسبت به نمودار عناصر نادر خاکی کندریت با مقادیر استاندارد (Boynton, 1984) نرمالیز شده‌اند (شکل ۱-۱۰c). بر اساس نتایج حاصل از نمودار مشخص گردید که سنگ‌های آتشفسانی این منطقه، غنی‌شدگی در عناصر نادر خاکی سبک (LREE) مانند La، Ce و Sm نسبت به عناصر نادر خاکی سنگین (HREE) مانند Ho، Tb و Lu نشان می‌دهند. الگوی پراکنده عناصر نادر خاکی در تمامی نمونه‌های منطقه گل‌چشمی یک الگوی پراکنده با شبیه ملایم می‌باشد. به جز در دو نمونه که نوعی آنومالی مشبت در



شکل ۱۰. a) نمودار عنکبوتی سنگ‌های آتشفشاری نرمالیزه شده نسبت به MORB در منطقه گل‌چشمه، بر اساس مقادیر استاندارد (Pearce, 1983؛ b) نمودار عنکبوتی سنگ‌های آتشفشاری نرمالیزه شده نسبت به کندریت در منطقه گل‌چشمه، بر اساس مقادیر استاندارد (Gerlach, 1983)؛ c) نمودار عنکبوتی سنگ‌های آتشفشاری نرمالیزه شده نسبت به کندریت در منطقه گل‌چشمه، بر اساس مقادیر استاندارد (Boynton, 1984)

پومپلهایت دگرگون شده‌اند، در واقع این نظریه بیشتر در مورد کانسارهای میشیگان ارائه شده است، که منشا مس را فرآیندهای دگرگونی در نظر می‌گیرند (Richards, 1989، Richards). اما طرفداران نظریه دیگر، معتقدند که این کانسارها تحت تاثیر فرآیندهای آتشفشاری همراه با دیاژنز ایجاد شده‌اند. بر اساس این نظریه فرآیندهای دیاژنزی موجب تشکیل پیریت و

آهن بود می‌باشد کالکوپیریت تشکیل شود حال آنکه در این سیستم‌ها غالباً کالکوپیریت به صورت اولیه تشکیل شده است. لازم به ذکر است که در مورد شرایط تشکیل این کانسارها دو نظریه مهم وجود دارد. عده‌ای معتقدند که این تیپ ذخایر در ارتباط با فرآیندهای دگرگونی ایجاد شده‌اند که واحدهای سنگی در حد رخساره پرهنیت -

از این جهت حائز اهمیت است که با توجه به موقعیت این مکان در زیر پهنه سبزوار و وجود اندیس‌های معدنی متعدد مس در این زیر پهنه و حتی نزدیک به محدوده موردمطالعه (بزق، استایش)، این الگو می‌تواند به عنوان یک الگوی اکتشافی جدید در این مناطق معرفی شده و به اکتشاف کانسارهای مشابه در این زیر پهنه منجر شود، چرا که این تیپ کانسارها بعد از ذخایر پوروفیری به عنوان دومین منابع اقتصادی مس در دنیا معرفی شده‌اند.

منابع

- ابوی پور، م.، راستاد، ا. و رشید نژاد عمران، ن.، ۱۳۹۴. کانه‌زایی مس چینه‌گران نوع مانتو در آندزیت پوروفیری پیروپیتومن دار کشکوئیه رفسنجان، زیر پهنه دهچ- ساردوئیه. سی و چهارمین گردهمایی علوم زمین.
- اشرف‌پور، ا.، ۱۳۸۶. ویزگی‌های ژئوشیمیایی، کانی‌شناسی و دگرسانی محدوده طلای ارغش، جنوب‌غرب نیشابور. پایان‌نامه دکتری، دانشگاه شهریاری، ۱۳۷.
- سامانی، ب.، ۱۳۸۱. متالوژنی کانسارهای مس نوع مانتو در ایران. ششمین همایش زمین‌شناسی ایران.
- سعادت، س.، ۱۳۹۱. گزارش نهایی عملیات اکتشاف مرحله دوم منطقه گل‌چشمه کدکن (مس). سازمان صنعت، معدن و تجارت استان خراسان رضوی.
- کیوانفر، م. و عسگری، ع.، ۱۳۷۸. طرح اکتشاف طلا، گزارش نقشه‌های زمین‌شناسی - معدنی ۱:۵۰۰۰ ناحیه ارغش - چشمه زرد، جنوب نیشابور. سازمان زمین‌شناسی و اکتشافات معدنی کشور.
- نادری میقان، ن. و ترشیزیان، ح.، ۱۳۷۷. نقشه زمین‌شناسی ۱:۱۰۰۰۰ کدکن. سازمان زمین‌شناسی و اکتشافات معدنی کشور.
- واعظی پور، م. ج. و علوی تهرانی ن.، ۱۳۷۰. نقشه زمین‌شناسی ۱:۲۵۰۰۰ تربت‌حیدریه. سازمان زمین‌شناسی و اکتشافات معدنی کشور.
- Berberian, F. and Berberian, M., 1981. Tectono-plutonic episodes in Iran. Zagros-Hindu Kush-Himalaya Geodynamic Evolution. American Geophysical Union and Geological Society of America, Washington, 5-32.
- Cisternas, M.G. and Hermosilla, J., 2006.

احیایی شدن محیط می‌شوند. سپس محلول‌های ماقمایی که از عمق آمده‌اند در این واحدها حرکت کرده و در شرایط احیایی، مس موجود در سنگ میزبان را شسته و حمل کرده و در مکان مناسب تهشیش کرده‌اند (Kojima et al., 2009).

در مورد شرایط تشکیل منطقه گل‌چشمه، پذیرش نظریه دگرگونی با توجه به اینکه هیچ‌گونه شواهدی از دگرگونی و حتی دیاژنز وجود ندارد قابل پذیرش نیست. اما در مورد نظریه دوم و بر اساس شواهد موجود، به نظر می‌رسد که دیاژنز هم در این منطقه رخ نداده است، اما احتمالاً این منطقه در ارتباط با فرآیندهای آتشفشانی مرتبط با ا孚سن رخ داده است. در منطقه گل‌چشمه با توجه به اینکه در نزدیکی این محدوده دایک‌های دیابازی و دیوریتی وجود دارد، می‌توان چنان بیان کرد که این توده‌های نفوذی در عمق به عنوان منبع حرارتی مناسب عمل کرده‌اند و درنتیجه حرارت لازم برای محلول‌هایی که از سطح (آب‌های جوی و دریایی) و آب‌هایی که از عمق می‌آمده‌اند را تامین کرده است. این محلول‌ها نیز بر روی سنگ میزبان آندزیتی اثر گذاشته، در این زمان پیریت نیز به عنوان اولین سولفید حضور داشته است و شرایط محیط را احیایی تر کرده است. سپس محلول‌های موجود در سنگ میزبان آندزیتی که از مس نیز غنی بوده‌اند درون این واحدها به چرخش در آمده و در نتیجه مس آنها را شسته و در شرایط احیایی محیط، در مکان‌های مناسب مانند حفرات و رگه - رگچه‌ها بر جای گذاشته است. به‌طور خلاصه به نظر می‌رسد محتمل‌ترین نظریه برای نحوه تشکیل منطقه گل‌چشمه، شسته شدن مس موجود در نتیجه فرآیندهای ماقمایی از سنگ میزبان غنی از مس باشد که در این زمان یک توده آذرین (دایک‌های گابرویی و دیوریتی) موجود در عمق، منبع تامین کننده‌ی حرارت مورد نیاز بوده است. البته معرفی معدن مس گل‌چشمه به عنوان یک کانسار تیپ مانتو به شواهد و اطلاعات بیشتری از قبیل مطالعات سیالات درگیر برای تعیین دما و شوری محلول کانه‌دار، ایزوتوپ‌های پایدار $S - O - H$ - برای Sm - Nd - Sm و $Rb - Sr$ به جهت تعیین منشا و سن سنگ‌های آتشفشانی نیاز است. اما بررسی رخداد کانه‌زایی در منطقه گل‌چشمه

- The role of bitumen in strata-bound copper deposit formation in the Copiapó area, Northern Chile. *Mineralium Deposita*, 41, 339 – 355.
- Gerlach, D., Cliff, R., Davies, G., Norry, M. and Hodgson N., 1988. Magma sources of the Cape Verde archipelago: isotopic and trace element constraints. *Geochim Cosmochim Acta*, 52, 2979–2992.
 - Irvine T. N. and Baragar W.R.A., 1971. A guide to the chemical classification of the common volcanic rocks. *Canadian Journal of Earth Sciences*, 8, 523–548.
 - Kojima, S., Trista, D., Guilera, A. and Ken-ichiro ayashi, H., 2009. Genetic aspects of the Manto-type copper deposits based on geochemical studies of north Chilean deposits. *Resource Geology*, 59, (1), 879–.
 - Maksaev, V. and Zentilli, M., 2002. Chilean strata-bound Cu-(Ag) deposits: an overview. In: Porter, T.M. (Ed.), *Hydrothermal Iron oxide Copper-Gold and Related Deposits: a global perspective*, 2. PGC Publishing, Adelaide, 163–184.
 - Morata, D. and Aguirre, L., 2003. Extensional lower Cretaceous volcanism in the coastal range (29°20' – 30°S), Chile: Geochemistry and Petrogenesis. *Journal of South America. Earth Sciences.*, 16, 459 – 476.
 - Pearce J. A., Harris N. B. W. and Tindle A. G., 1984. Trace element discrimination diagrams for the tectonic interpretation of granitic rocks. *Journal of Petrology*, 25, 956–983.
 - Pecerillo A. and Taylor S.R., 1976. Geochemistry of Eocene calc-alkaline volcanic rocks from the Kastamonu area, northern Turkey. *Contributions to Mineralogy and Petrology*, 58, 63–81.
 - Richards, J. P., Boyce, A. J. and Pringle, M. S., 2001. Geologic evolution of the Escondida Area, northern Chile, a model for spatial and temporal localization of porphyry Cu mineralization. *Economic Geology*, 96, 271 – 305.
 - Richards, J. P., and Spoonell, E.T.C., 1989. Evidence of Cu-(Ag) mineralization by magmatic – meteoric fluid mixing in Keweenawan Fissure Veins, Mamainse Point, Ontario. *Economic Geology*, 84(2), 360– 385.
 - Rieger, A., Schwark, L., Cisternas, M. E. and Miller, H., 2008. Genesis and evolution of bitumen in Lower Cretaceous lavas and implications for strata-bound copper deposits, North Chile. *Economic Geology*, 103, 387–404.
 - Rollinson H., 1983. The geochemistry of mafic and ultramafic rocks from the Archaean greenstone belts of Sierra Leone. *Mineral Magazine*, 47, 267–280.
 - Rollinson H., 1993. *Using Geochemical Data, Evaluation, Presentation, Interpretation*. Addison-Wesley /Longman, Harlow. England. 352p.
 - Shand S. J., 1943. *Eruptive Rocks; their Genesis, Composition, Classification and their Relation to Ore-deposits*. Hafner Publishing Company, New York, 488.
 - Stocklin J. and Nabavi M., 1972. *Tectonic Map of Iran*, Geological Survey of Iran.
 - Tristá-Aguilera, D., Barra, F., Ruiz, J., Morata, D., Talavera-Mendoza, O., Kojima, S. and Ferraris, F., 2006. Re-Os isotope systematics for the Lince-Estefanía deposit: constraints on the timing and source of copper mineralization in a stratabound copper deposit, Coastal Cordillera of Northern Chile. *Mineral Deposita*, 41, 99–105.
 - Winchester, J.A. and Floyd, P.A., 1977. Geochemical discrimination of different magma series and their differentiation products using immobile elements. *Chemical Geology*, 20, 325–343.